

Zeitschrift: Entomologica Basiliensia
Herausgeber: Naturhistorisches Museum Basel, Entomologische Sammlungen
Band: 20 (1997)

Artikel: Faunistische und systematische Übersicht der Ebaeus-Arten (Coleoptera, Malachiidae) aus Zentralasien
Autor: Dowgailo, K.
DOI: <https://doi.org/10.5169/seals-980443>

Nutzungsbedingungen

Die ETH-Bibliothek ist die Anbieterin der digitalisierten Zeitschriften auf E-Periodica. Sie besitzt keine Urheberrechte an den Zeitschriften und ist nicht verantwortlich für deren Inhalte. Die Rechte liegen in der Regel bei den Herausgebern beziehungsweise den externen Rechteinhabern. Das Veröffentlichen von Bildern in Print- und Online-Publikationen sowie auf Social Media-Kanälen oder Webseiten ist nur mit vorheriger Genehmigung der Rechteinhaber erlaubt. [Mehr erfahren](#)

Conditions d'utilisation

L'ETH Library est le fournisseur des revues numérisées. Elle ne détient aucun droit d'auteur sur les revues et n'est pas responsable de leur contenu. En règle générale, les droits sont détenus par les éditeurs ou les détenteurs de droits externes. La reproduction d'images dans des publications imprimées ou en ligne ainsi que sur des canaux de médias sociaux ou des sites web n'est autorisée qu'avec l'accord préalable des détenteurs des droits. [En savoir plus](#)

Terms of use

The ETH Library is the provider of the digitised journals. It does not own any copyrights to the journals and is not responsible for their content. The rights usually lie with the publishers or the external rights holders. Publishing images in print and online publications, as well as on social media channels or websites, is only permitted with the prior consent of the rights holders. [Find out more](#)

Download PDF: 13.01.2026

ETH-Bibliothek Zürich, E-Periodica, <https://www.e-periodica.ch>

Entomologica Basiliensia	20	373–392	1997	ISSN 0253-2484
--------------------------	----	---------	------	----------------

Faunistische und systemastische Übersicht der *Ebaeus*-Arten (Coleoptera, Malachiidae) aus Zentralasien.

von K. Dowgailo

Abstract: Two new species: *Ebaeus maculiceps* (S Uzbekistan) and *E. lopatini* (O Kasakstan) are described. A key of the species from Central Asia is given.

Keywords: Coleoptera, Malachiidae – taxonomy – genus *Ebaeus* – faunistic Central Asia.

Das für die vorliegende Arbeit verwendete Material stammt grösstenteils aus dem NHMB ex coll. W. Wittmer, dem NMP coll. V. Švihla und meiner eigenen Sammlung. Den Herren Dr. W. Wittmer und Dr. V. Švihla danke ich bestens für das mir zur Verfügung gestellte Material und Dr. W. Wittmer für seine Erlaubnis diverse seiner Zeichnungen verwenden zu dürfen. Bis heute sind aus dem bearbeiteten Gebiet 45 Arten der Gattung *Ebaeus* Erichson beschrieben worden, von denen 2 für die Wissenschaft neu sind und 2 nicht gedeutet werden konnten, weil sie nach ♀ beschrieben wurden.

Verwendete Abkürzungen:

- MP = Museum de Paris
- NHMB = Naturhistorisches Museum, Basel (Dr. M. Brancucci)
- NMP = National Museum, Prag (Dr. V. Švihla)
- SZM = Sibirisches Zoologisches Museum, Novosibirsk
- ZIN = Zoologisches Institut, Sankt-Petersburg
- ZMM = Zoologisches Museum, Moscow

***Ebaeus gibbosus* Wittmer**

Abb. 1–5.

Ebaeus gibbosus Wittmer, 1956, Rev. Suisse Zool. 63: 141, 149.

Für diese Art wurden noch keine Abbildungen veröffentlicht, was ich hiermit nachhole: Kopf (Abb. 1); Apex der Flügeldecke (Abb. 2); Tergit 8 (Abb. 3); Sternit 8 (Abb. 4); Aedeagus (Abb. 5).

***Ebaeus maculiceps* n.sp.**

Abb. 6–12.

♂. Kopf dreifarbig, Basis bis zum ersten Drittel der Augen schwarz, die schwarze Färbung zieht sich in der Mitte zwischen den Augen in variabler Länge nach vorne (Abb. 6), davor ungefähr in der Breite des verlängerten Fleckes orange, Rest des Vorderkopfes mit den Wangen

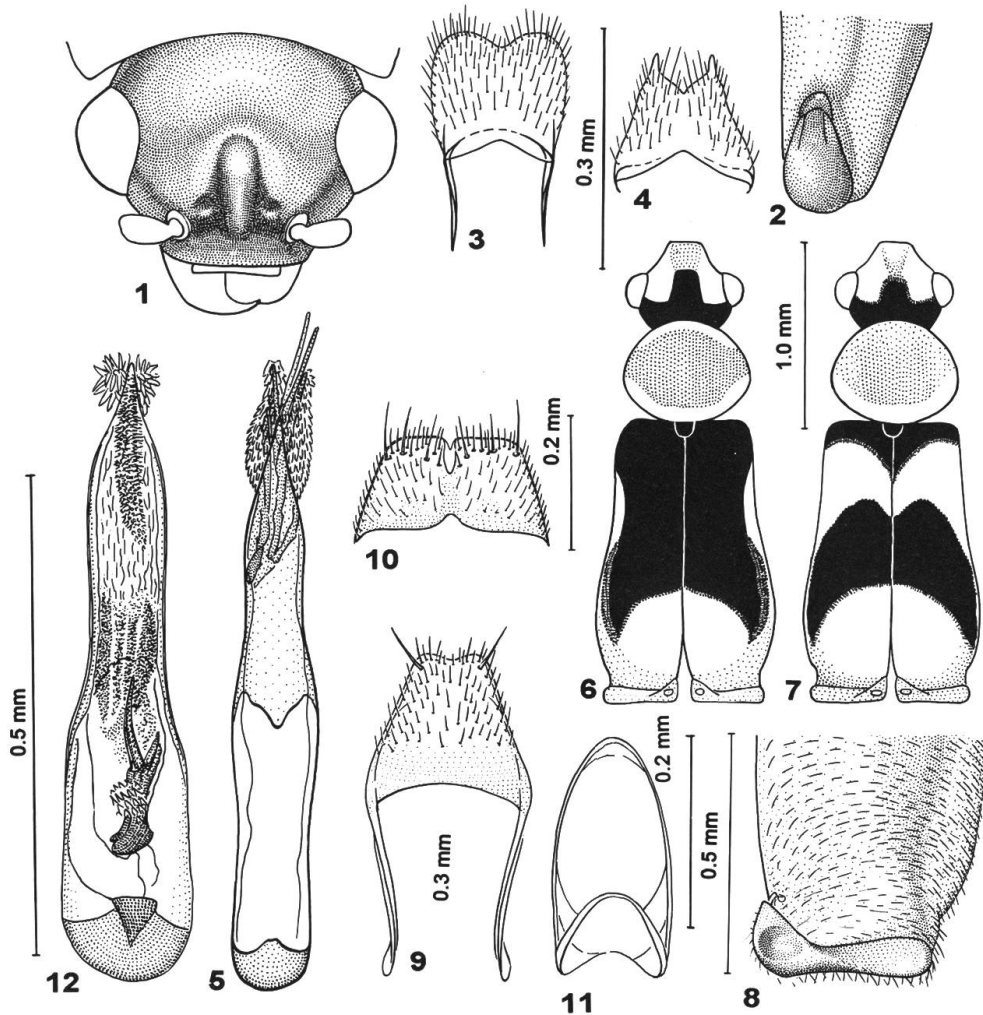


Abb. 1–12: 1–5: *Ebaeus gibbosus* Wittmer: 1, Kopf. 2, Apex der rechten Flügeldecke. 3, Tergit 8. 4, Sternit 8. 5, Aedeagus. 6–12: *E. maculiceps* n.sp.: 6–7, Umrisse des Körpers die Variabilität zeigend. 8, Apex der rechten Flügeldecke. 9, Tergit 8. 10, Sternit 8. 11, Tegmen. 12, Aedeagus. Massstab von 3 auch für 4; von 5 auch für 12; von 10 auch für 9.

weisslich; Fühler bräunlich, Glieder 1 bis 3 fast ganz gelb; Halsschild orange, Seiten, oder ringsum weiss; Schildchen schwarz; Flügeldecken weiss mit schwarzem Band auf der hinteren Hälfte, das bei hellen Exemplaren in zwei Teile zerfällt, Spitze und Anhängsel orange (Abb. 7, 8); Beine gelb, die letzten Tarsenglieder bräunlich; Ein Drittel des Apex des Abdomens mit Tergit 8 und Sternit 8 dunkel.

Kopf mit den Augen wenig schmaler als der Halsschild, Stirne leicht konkav, glatt. Fühler in zurückgelegtem Zustand fast $\frac{1}{3}$ der Flügeldecken erreichend, Glieder 2 bis 10 gegen die Spitze stark verbreitert; 3 etwas länger als 2, 3 kürzer als 3. Halsschild breiter als lang, Seiten

gerundet verengt, Basalrand verrundet, fast glatt. Flügeldecken nach hinten leicht erweitert, schwach punktiert, Spitzen (Abb. 8) mit einem schmalen Anhängsel, das die ganze Breite einnimmt, gegen die Naht mit einem leicht flachen, ovalen Eindruck. Tergit 8 (Abb. 9) länger als breit, apikal verschmälert, Apex schwach gerundet ausgeschnitten. Sternit 8 (Abb. 10) breiter als lang, Apex gerade mit schmalen, kurzem Einschnitt. Tegmen (Abb. 11). Aedeagus dorsal (Abb. 12).

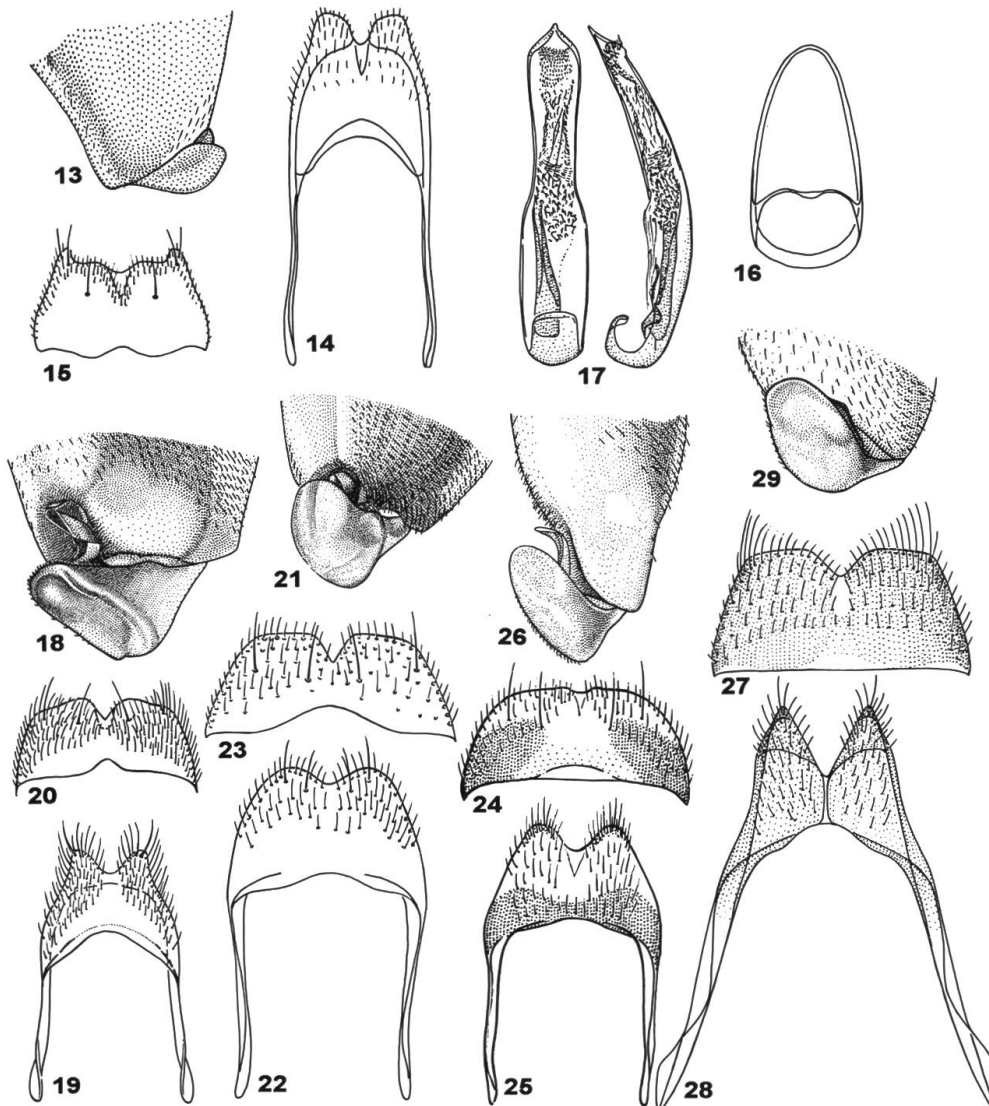


Abb. 13–29: 13–17: *Ebaeus lopatini* n.sp.: 13, Apex der linken Flügeldecke. 14, Tergit 8. 15, Sternit 8. 16, Tegmen. 17, Aedeagus. 18–20: *E. erythropus* Peyron: 18, Apex der rechten Flügeldecke. 19, Tergit 8. 20, Sternit 8. 21–23: *E. fischeri* Fleischer: 21, Apex der rechten Flügeldecke. 22, Tergit 8. 23, Sternit 8. 24–26: *E. basipes* Abeille de Perrin: 24, Sternit 8. 25, Tergit 8. 26, Apex der rechten Flügeldecke. 27–29: *E. rufipes* Morawitz: 27, Sternit 8. 28, Tergit 8. 29, Apex der rechten Flügeldecke.

♀. Wie das ♂ gefärbt, bis auf den Kopf, dessen Basis kurz schwarz, nach vorne weisslichgelb ist und die Flügeldecken, mit 2 grossen runden Flecken, hinter dem hellen Querband, die sich an der Naht berühren.

Länge: 2.4–2.5.

Holotypus (coll. Dowgailo): Uzbekistan: Karatau (Ausläufer Nura-tau Gebirgskette), Sarmisch-Schlucht, 1500 m, 8.V.1994; Uzbekistan: NO Kugitang-Gebirgskette, Flussmarsch Scherobad, Pandsh-Ob, 1200 m, 23.IV.1995, 4 Paratypen (coll. Dowgailo), 2 Paratypen (NHMB), Uzbekistan Zeravshan Gebirgskette, Agalyk Fluss, near touristic, 40 km SW of Samarkand, 1500–1800 m, 20.V.1990, 2 Paratypen (NMP).

Neben *E. albopictus* Wittmer zu stellen, siehe Bestimmungstabelle.

Ebaeus lopatini n.sp.

Abb. 13–17.

♂. Kopf bis zum Vorderrand der Augen schwarz, vorne gelb; Maxillarpalpen, Fühler und Beine gelb, nur die 4 letzten Fühlerglieder gebräunt, Halsschild orange; Schildchen schwarz; Flügeldecken gelb, an der Basis mit dreieckiger schwarzer Makel, die die Schultern einfasst; in der Mitte eine ovale schwarze Makel, die die Naht und Seiten nicht berührt; Spitze und Anhängsel gelborange.

Kopf mit den Augen schmaler als der Halsschild, Stirne zwischen den Augen ziemlich flach, glatt, mit feiner Behaarung. Fühler in zurückgelegtem Zustand die Mitte der Flügeldecken erreichend, Glieder 2 bis 10 gegen die Spitze schwach verbreitert, gleich lang, 4 bis 10 zwei mal länger als breit. Halsschild breiter als lang, Seiten gerundet verengt, alle Ränder verrundet, glatt. Flügeldecken nach hinten nur wenig vorbereitet, sichtbar punktiert, kurz behaart; Apex (Abb. 13) eingedrückt, hinteres Anhängsel fast tropfenförmig, meistens etwas quer liegend, vorderes Anhängsel ziemlich breit, Spitze gerundet; Oberfläche flach, glatt. Tergit 8 (Abb. 14) breiter als lang, kurz eingeschnitten. Sternit 8 dreifach schwach ausgerandet, siehe (Abb. 15). Tegmen (Abb. 16). Aedeagus (Abb. 17).

♀. Wie das ♂ gefärbt, bei dunkeln Exemplaren berühren sich die hinteren schwarzen Makeln der Flügeldecken an der Naht; die gelbe Färbung geht meistens ins Orange über.

Länge: 3.7–4.2 mm.

Holotypus und 2 Paratypen ♀ (coll. Dowgailo): SO Kasakstan: Tscharyn Fluss, Kurtagoi, 30 km. SO Kokpeka, 2.VII.1987. I.K. Lopatin.

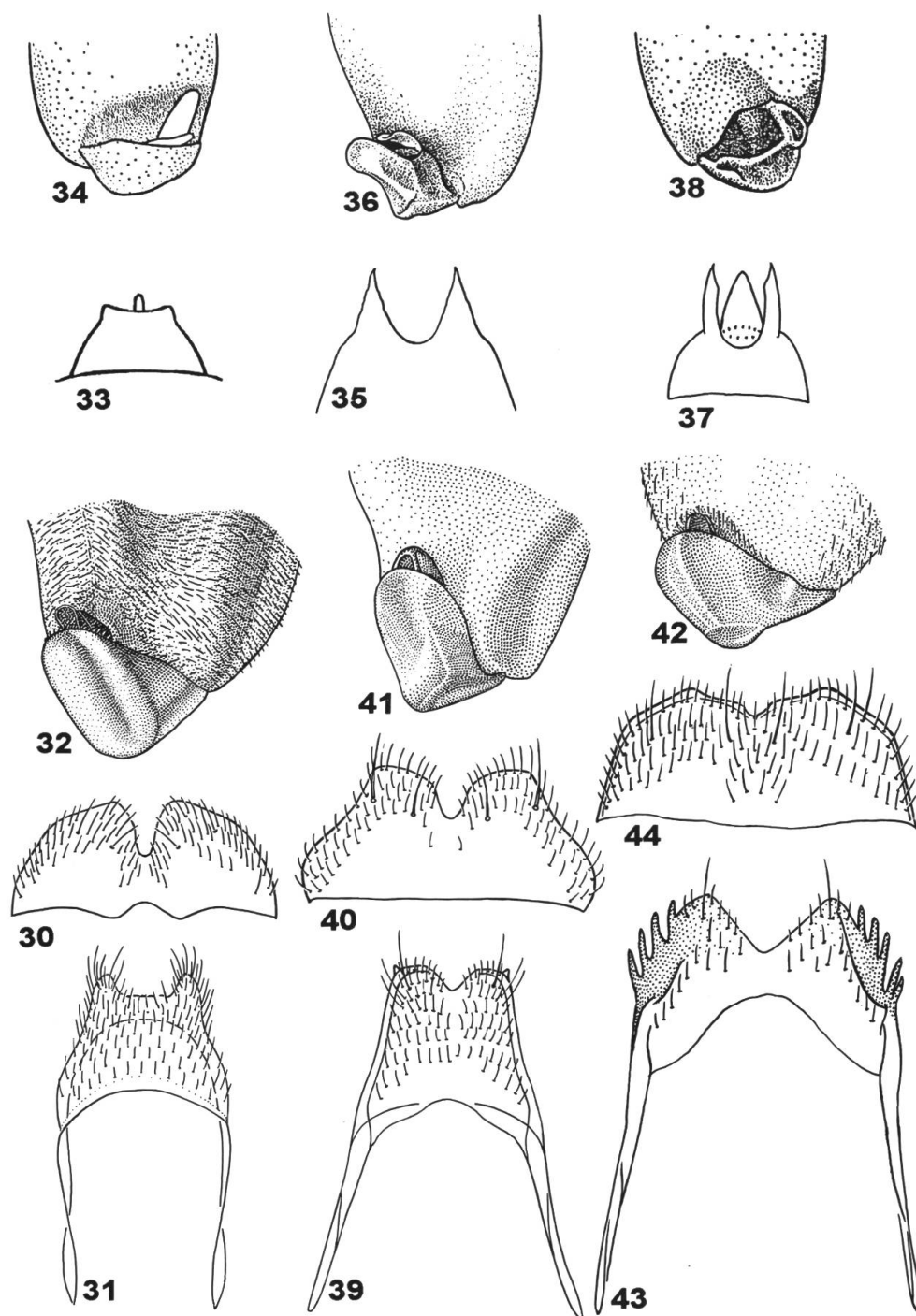


Abb. 30–44: 30–32: *Ebaeus pedicularius* Fabricius: 30, Sternit 8. 31, Tergit 8. 32, Apex der rechten Flügeldecke. 33–34: *E. cyaneoviridis* Wittmer: 33, Tergit 8. 34, Apex der linken Flügeldecke. 35–36: *E. pallidipes* Wittmer: 35, Tergit 8. 36, Apex der rechten Flügeldecke. 37–38: *E. spinifer* Wittmer: 37, Tergit 8. 38, Apex der linken Flügeldecke. 39–41: *E. turkestanicus* Abeille de Perrin: 39, Tergit 8. 40, Sternit 8. 41, Apex der rechten Flügeldecke. 42–44: *E. tritinctus* Wittmer: 42, Apex der rechten Flügeldecke. 43, Tergit 8. 44, Sternit 8.

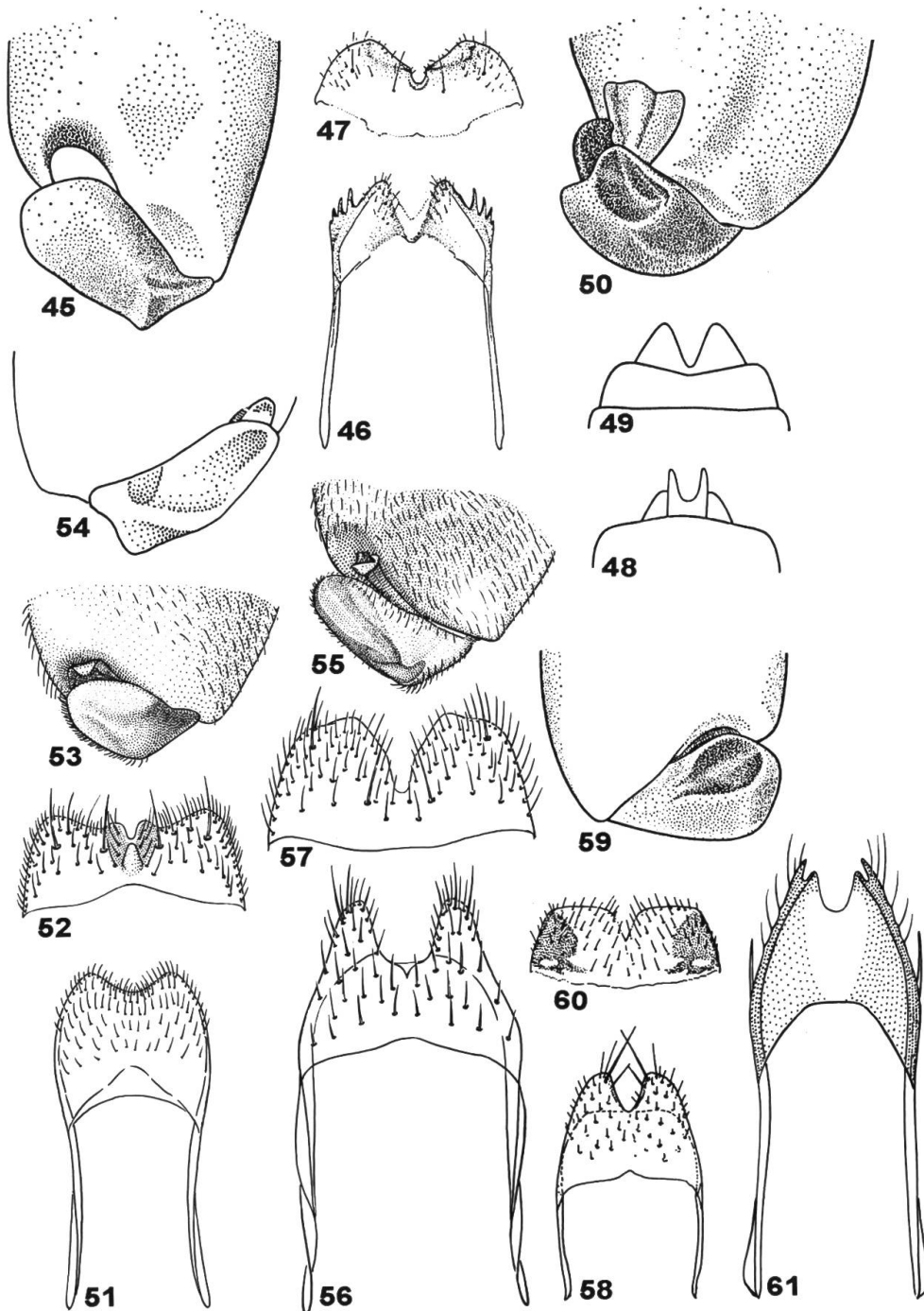


Abb. 45–61: 45–47: *Ebaeus spinimargo* Wittmer: 45, Apex der rechten Flügeldecke. 46, Tergit 8. 47, Sternit 8. 48–50: *E. ferganicus* Wittmer: 48, Tergit 8. 49, Sternit 8. 50, Apex der rechten Flügeldecke. 51–53: *E. decorus* Abeille de Perrin: 51, Tergit 8. 52, Sternit 8. 53, Apex der rechten Flügeldecke. 54: *E. robusticornis* Wittmer: 54, Apex der linken Flügeldecke. 55–57, *E. kasachstanicus* Švihla: 55, Apex der rechten Flügeldecke. 56, Tergit 8. 57, Sternit 8. 58–60: *E. karakumensis* Wittmer: 58, Tergit 8. 59, Apex der linken Flügeldecke. 60, Sternit 8. 61: *E. streiceki* Švihla: 61, Tergit 8.

Bestimmungstabelle der Ebaeus Zentralasiens.

In die Bestimmungstabelle konnten 2 Arten: **E. oculifer** Abeille de Perrin 1885 und **E. personatus** Abeille de Perrin 1885 nicht eingeschlossen werden, weil sie nach Weibchen beschrieben wurden.

1. Vorderkopf glatt, ohne Beule 2
- Vorderkopf mit Längsbeule, schwarz (Abb. 1). Halsschild gelb-orangefarben. Basale 3/4 der Flügeldecken schwarz, ihre Spitze und Anhängsel gelb (Abb. 2). Tergit 8 und Sternit 8 (Abb. 3, 4)

E. gibbosus Wittmer

2. Kopf und Halsschild ganz schwarz, oft mit blauem oder grünem Glanz 3
- Kopf und Halsschild anders gefärbt 7
3. Flügeldecken ganz schwarz 4
- Flügeldeckenspitzen hell 5
4. Anhängsel schwarz (Abb. 18). Schwarz mit blauem oder grünem Glanz. Apikales Drittel des Tergits 8 (Abb. 19), Sternit 8 breit ausgerandet (Abb. 20)

E. erythropus Peyron

- Anhängsel gelb (Abb. 21). Schwarz mit blauem oder grünem Glanz. Apikales Fünftel des Tergits 8 gerundet (Abb. 22), Sternit 8 fast bis zur Hälfte ausgerandet (Abb. 23)

E. fischeri Fleischer

5. 4 erste Fühlerglieder 2 mal länger als breit. Sternit 8 Apex gerundet, kurz und wenig ausgerandet (Abb. 24). Tergit 8 bis zu 1/3 der Länge breit ausgerandet (Abb. 25) Anhängsel (Abb. 26)

E. basipes Abeille de Perrin

- 4 erste Fühlerglieder 1.5 mal länger als breit. Sternit 8 sichtbar ausgerandet 6
6. Sternit 8 bis zu 1/4 ausgerandet (Abb. 27). Tergit 8 bis zur Hälfte eingeschnitten (Abb. 28). Anhängsel (Abb. 29)

E. rufipes Morawitz

- Sternit 8 bis zur Hälfte eingeschnitten (Abb. 30). Tergit 8 trapezoidal gerundet (Abb. 31). Anhängsel (Abb. 32)

E. pedicularius Fabricius

7. Kopf ganz schwarz. Halsschild hell (von gelb bis rot), ohne oder mit dunkler Mittelmakel 8
- Wenigstens Clypeus hell 24
8. Halsschild hell, ohne Makel 9
- Halsschild hell, mit Makel in der Mitte 21
9. Basale 3/4 der Flügeldecken schwarz, selten bis zu den Schulterbeulen mit hellen Epipleuren 10

- Flügeldecken schwarz mit heller Makel oder Band in der Mitte und hellen Spitzen 14
- 10. Tergit 8 Apex fast gerade (Abb. 33). Basale 3/4 der Flügeldecken schwarz mit blauem oder grünem Glanz. Anhängsel (Abb. 34)
 - E. cyaneoviridis** Wittmer
- Tergit 8 ausgerandet 11
- 11. Tergit 8 tief eingeschnitten, 2 scharfe Spitzen bildend 12
 - Tergit 8 ausgerandet, 2 runde oder stumpfe Spitzen bildend . 13
- 12. Tergit 8 in 2 regelmässige Spitzen auslaufend (Abb. 35). Anhängsel (Abb. 36)
 - E. pallidipes** Wittmer
- Tergit 8 Spitzen vor dem Apex unregelmässig verengt abgesetzt zugespitzt (Abb. 37). Anhängsel (Abb. 38)
 - E. spinifer** Wittmer
- 13. 4 erste Fühlerglieder 2 mal länger als breit. Epipleuren bis zu den Schulterbeulen hell
 - E. caspius flavolimbatus** Wittmer
- 4 erste Fühlerglieder 1.5 mal länger als breit. Hinterecken des letzten Tergits 8 mit kleinem Zahn (Abb. 39). Sternit 8 (Abb. 40). Anhängsel (Abb. 41)
 - E. turkestanicus** Abeille de Perrin
- 14. Jede Tergitseite mit Kamm 15
 - Jede Tergitseite glatt, ohne Kamm 16
- 15. Äusseres Anhängsel nach hinten gerundet, leicht stumpfwinklig (Abb. 42). Linke Tergitseite mit 5, rechte mit 4 Borstensförsätzen (Abb. 43). Sternit 8 (Abb. 44)
 - E. tritinctus** Wittmer
- Äusseres Anhängsel nach hinten mehr spitz, fast rechtwinklig (Abb. 45). Linke und rechte Tergitseite mit 3 langen und 1 kurzen Borstensförsatz Abb. 46. Sternit 8 (Abb. 47)
 - E. spinimargo** Wittmer
- 16. Anhängsel schwarz 17
 - Anhängsel hell 18
- 17. Tergit 8 bis zur Hälfte ausgerandet, 2 scharfe Spitzen bildend (Abb. 48). Sternit 8 tief und breit ausgerandet (Abb. 49). Anhängseloberfläche mit Grube (Abb. 50)
 - E. ferganicus** Wittmer
- Tergit 8 gerundet (Abb. 51). Sternit 8 dreifach in verschiedener Tiefe ausgerandet (Abb. 52). Anhängseloberfläche ohne Grube (Abb. 53)
 - E. decorus** Abeille de Perrin*

* Die beiden Arten **E. decorus** Abeille de Perrin und **E. tripictus** Abeille de Perrin sind sich sehr ähnlich. Die Färbung der Anhängsel ist variabel, es ist möglich, dass es sich um eine Art handelt. Der Typus von **E. tripictus** Abeille de Perrin müsste eingesehen werden.

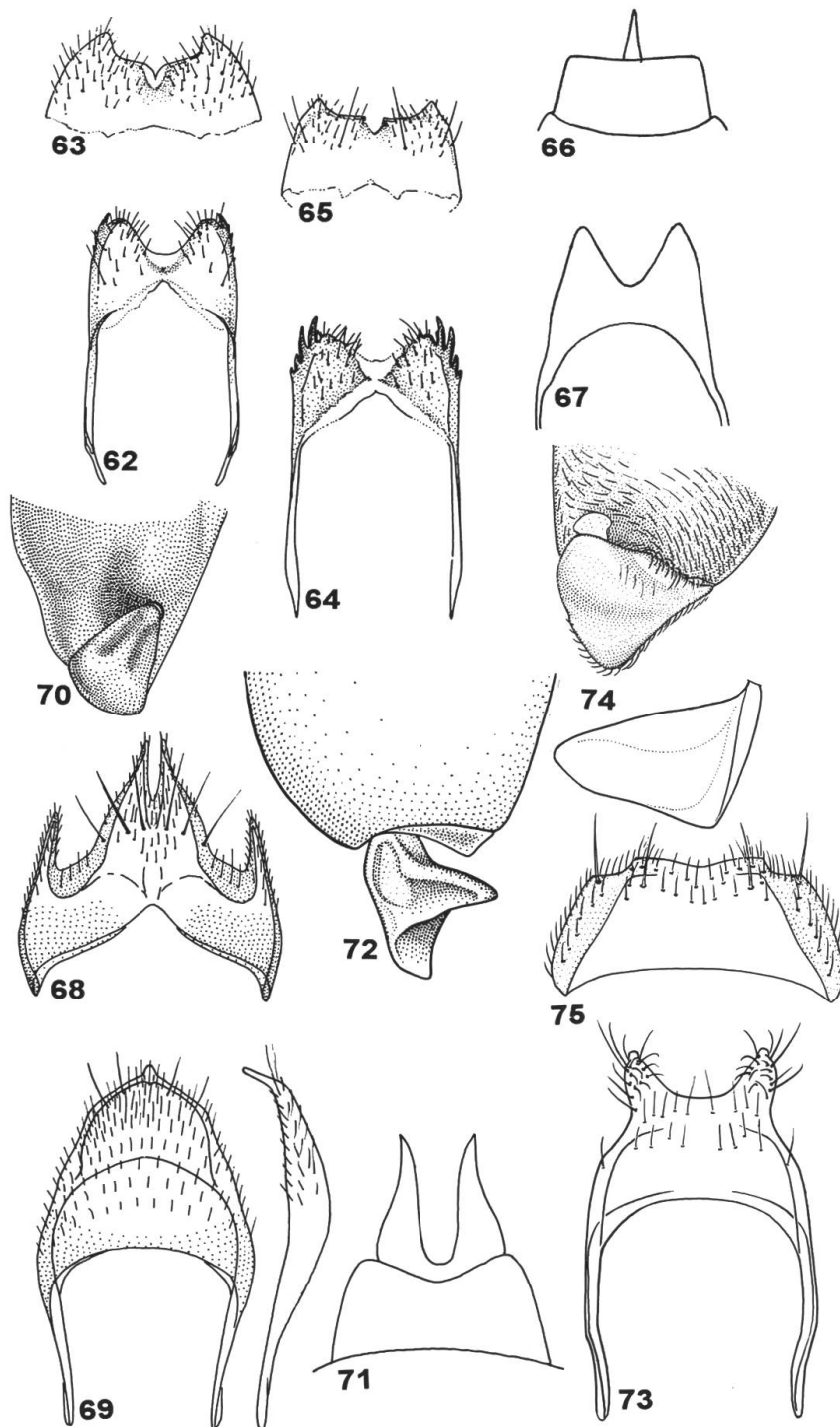


Abb. 62–75: 62–63: *Ebaeus. tshernyshevi* Wittmer: 62, Tergit 8. 63, Sternit 8. 64–65: *E. maculithorax* Wittmer: 64, Tergit 8. 65, Sternit 8. 66–67: *E. levesulcatus* Wittmer: 66, Tergit 8. 67, Sternit 8. 68–70: *E. poecilus* Iablokoff–Khnzorian: 68, Sternit 8. 69, Tergit 8, rechts daneben im Profil. 70, Apex der linken Flügeldecke. 71–72: *E. majeri* Švihla: 71, Tergit 8. 72, Apex der linken Flügeldecke. 73–75: *E. scutellaris* Pic: 73, Tergit 8. 74, Apex der rechten Flügeldecke. 75, Sternit 8.

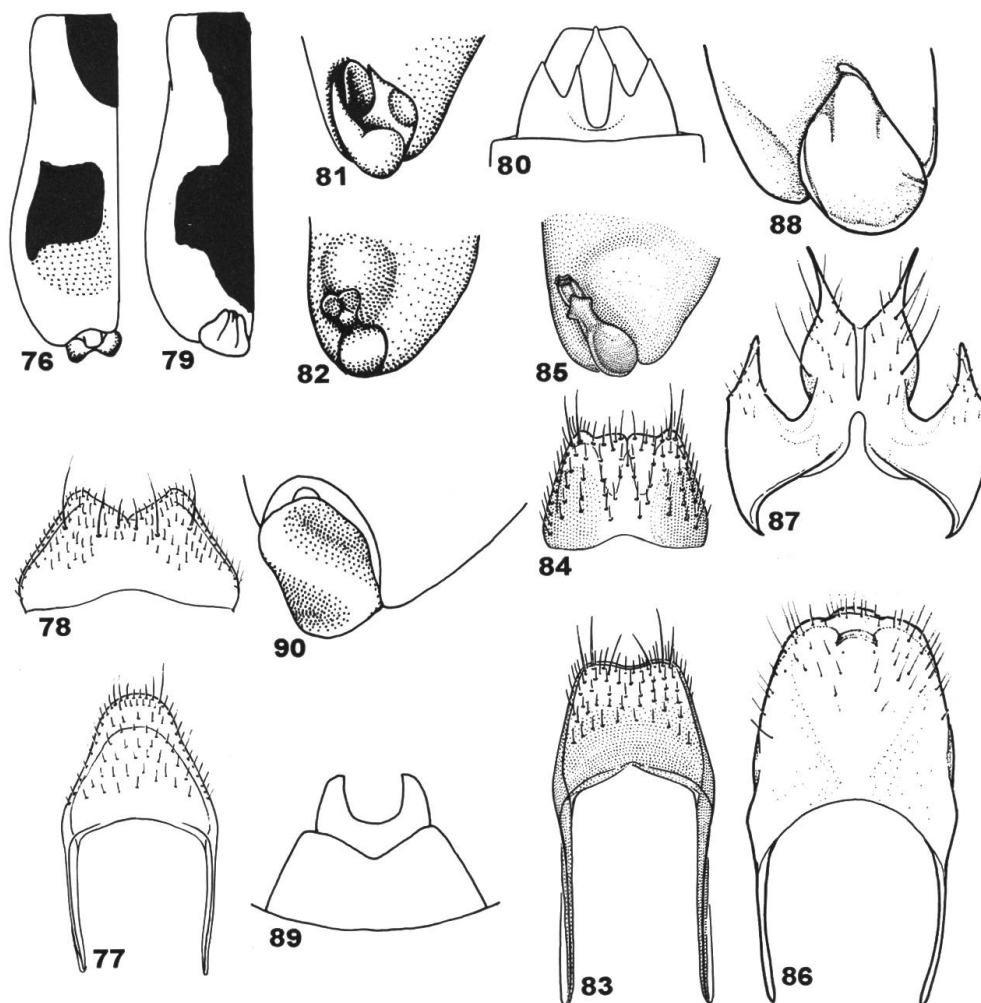


Abb. 76–90: 76: *Ebaeus pallidiceps* Wittmer: 76, linke Flügeldecke. 77–79: *E. delicatulus* Wittmer: 77, Tergit 8. 78, Sternit 8. 79, linke Flügeldecke. 80–81: *E. tibiaemaculatus* Wittmer: 80, Sternit 8. 81, Apex der rechten Flügeldecke. 82: *E. scheibei* Wittmer: 82, Apex der rechten Flügeldecke. 83–85: *E. wittmerorum* Švihla: 83, Tergit 8. 84, Sternit 8. 85, Apex der rechten Flügeldecke. 86–88: *E. tergalis* Wittmer: 86, Tergit 8. 87, Sternit 8. 88, Apex der linken Flügeldecke. 89–90: *E. kukkulensis* Švihla: 89, Tergit 8. 90, Apex der rechten Flügeldecke.

18. Anhängsel 2 mal breiter als lang 19

– Anhängsel 1.5-mal breiter als lang, oder wenig länger als breit 20

19. Anhängsel an der Basis leicht ausgerandet, Apex breiter (Abb. 54)

E. robusticornis Wittmer

– Anhängsel an der Basis fast gerade, Apex schmaler (Abb. 55). Tergit 8 (Abb. 56). Sternit 8 (Abb. 57) **E. kasachstanicus** Švihla

20. Anhängsel 1.5-mal breiter als lang, gelb bis schwarz (Abb. 53)

E. decorus Abeille de Perrin

- Anhängsel länger als breit, länglich viereckig (ex Beschreibung)
E. tripictus Abeille de Perrin*
- 21. Jede Tergitseite glatt (Abb. 58). Halsschildband freistehend, oder die Basis berührend. Schulterbeulen hell. Anhängsel (Abb. 59). Sternit 8 (Abb. 60) **E. karakumensis** Wittmer
- Jede Tergitseite mit einem langen Dorn, oder mit Kamm . . . 22
- 22. Tergit 8 dreifach ausgerandet, einmal in der Mitte breit und seitlich kurz, so dass 4 Spitzen gebildet werden, jede Tergitseite mit einem langen Dorn (Abb. 61) **E. streiceki** Švihla
- Tergit 8 fast bis zur Hälfte ausgerandet, jede Tergitseite mit Kamm 23
- 23. Tergit 8 mit kurzem Borstensfortsatz (Abb. 62). Sternit 8 (Abb. 63) **E. tshernyshevi** Wittmer
- Jede Tergitseite mit 2 langen und 2 kurzen Borstensfortsätzen (Abb. 64). Sternit 8 (Abb. 65) **E. maculithorax** Wittmer
- 24. Halsschild ganz schwarz. Wangen hell. Basale 1/2 bis 2/3 der Flügeldecken schwarz. Tergit 8 eingeschnitten.
E. limbellus tianschanensis Wittmer
- Halsschild ganz hell, oder mit Band, oder schwarz mit heller Seitenmakel 25
- 25. Kopfbasis ganz schwarz, nur Clypeus hell 26
- Kopfbasis ganz hell, oder mit schwarzer Makel 30
- 26. Nur basaler Teil (1/4) der Flügeldecken schwarz, Rest hell. Tergit 8 fast gerade (Abb. 66). Sternit 8 (Abb. 67) **E. levesulcatus** Wittmer
- Flügeldecken auf der basalen Hälfte schwarz, dahinter mit schwarzen Makeln 27
- 27. Sternit 8 dreifach ausgerandet, einmal eng in der Mitte und seitlich, 4 scharfe Spitzen bildend (Abb. 68). Halsschild gelborange, wenigstens mit bräunlicher kleiner, undeutlicher Makel. Apex von T. 8 mit ventralwärts gebogenem Fortsatz in der Mitte (Abb. 69). Anhängsel (Abb. 70) **E. poecilus** Iablokoff-Khnzorian
- Sternit 8 anders gebildet 28
- 28. Tergit 8 eng und tief eingeschnitten, 2 scharfe Spitzen bildend (Abb. 71). Anhängsel (Abb. 72) **E. majeri** Švihla
- Tergit 8 ausgerandet, Apex jederseits gerundet oder 2 stumpfe Spitzen bildend 29
- 29. Tergit 8 breit ausgerandet, 2 kleine stumpfe Spitzen bildend (Abb. 73). Oberfläche des Anhängsels nicht glatt (Abb. 74). Sternit 8 (Abb. 75) **E. scutellaris** Pic

- Tergit 8 weniger breit ausgerandet, jede Seite gerundet (Abb. 14).
Oberfläche des Anhängsels glatt (Abb. 13). Sternit 8 (Abb. 15)
E. lopatini n.sp.
- 30. Kopf ganz gelb, selten mit dunkelm Scheitel. Anhängsel (Abb. 76)
E. pallidiceps Wittmer
 - Kopf mit Makel 31
- 31. Tergit 8 gerundet (Abb. 77). Sternit 8 (Abb. 78). Flügeldecke mit
Anhängsel (Abb. 79) **E. delicatulus** Wittmer
 - Tergit 8 fast gerade, oder schwach ausgerandet 32
- 32. Sternit 8 dreifach ausgerandet, einmal in der Mitte und seitlich, so
dass 4 Spitzen entstehen (Abb. 80). Anhängsel an der Spitze tief
ausgerandet (Abb. 83) **E. tibiaemaculatus** Wittmer
 - Sternit 8 einfach gerundet, oder ausgerandet 33
- 33. Anhängsel länger als breit 34
 - Anhängsel breiter als lang 40
- 34. Anhängsel zwei mal länger als breit, in der Mitte eingeschnürt
. 35
 - Anhängsel wenig länger als breit, in der Mitte nicht eingeschnürt
. 36
- 35. Basale 3/4 der Flügeldecken schwarz. Sternit 8 ausgerandet.
Anhängsel (Abb. 82) **E. scheibei** Wittmer
 - Flügeldecken mit schwarzer Zeichnung. Tergit 8 gerundet (Abb. 83).
Sternit 8 (Abb. 84). Anhängsel (Abb. 85) **E. wittmerorum** Švihla
- 36. Kopf vorwiegend schwarz inklusive der Wangen 37
 - Kopf vorwiegend hell inklusive der Wangen 38
- 37. Apex von Tergit 8 ziemlich regelmässig gerundet, nicht ausgerandet
(Abb. 86). Sternit 8 dreifach ausgerandet, einmal in der Mitte und
seitlich, so dass letzteres 4 scharfe Spitzen bildet (Abb. 87). Helle
Körperteile gelbbraun. Anhängsel (Abb. 88) **E. tergalis** Wittmer
 - Tergit 8 breit ausgerandet (Abb. 89). Sternit 8 anders gebildet.
Anhängsel (Abb. 90) **E. kukkulensis** Švihla
- 38. Stirnbasis schwarz, nach vorne in eine 3-eckige Makel verlängert
(Abb. 91). Halsschild schwarz, nur Basalrand und Basalecken gelb.
Anhängsel (Abb. 92) **E. dolini** Wittmer
 - Stirnbasis schwarz, in der Mitte nicht nach vorne verlängert. Hals-
schild hell 39
- 39. Apex von Sternit 8 fast bis zur Hälfte ausgerandet (Abb. 93). Ter-
git 8 verengt, Apex schwach ausgerandet (Abb. 94). Äusseres
Anhängsel länger als breit, mehr länglich (Abb. 95)
E. hissarensis Wittmer

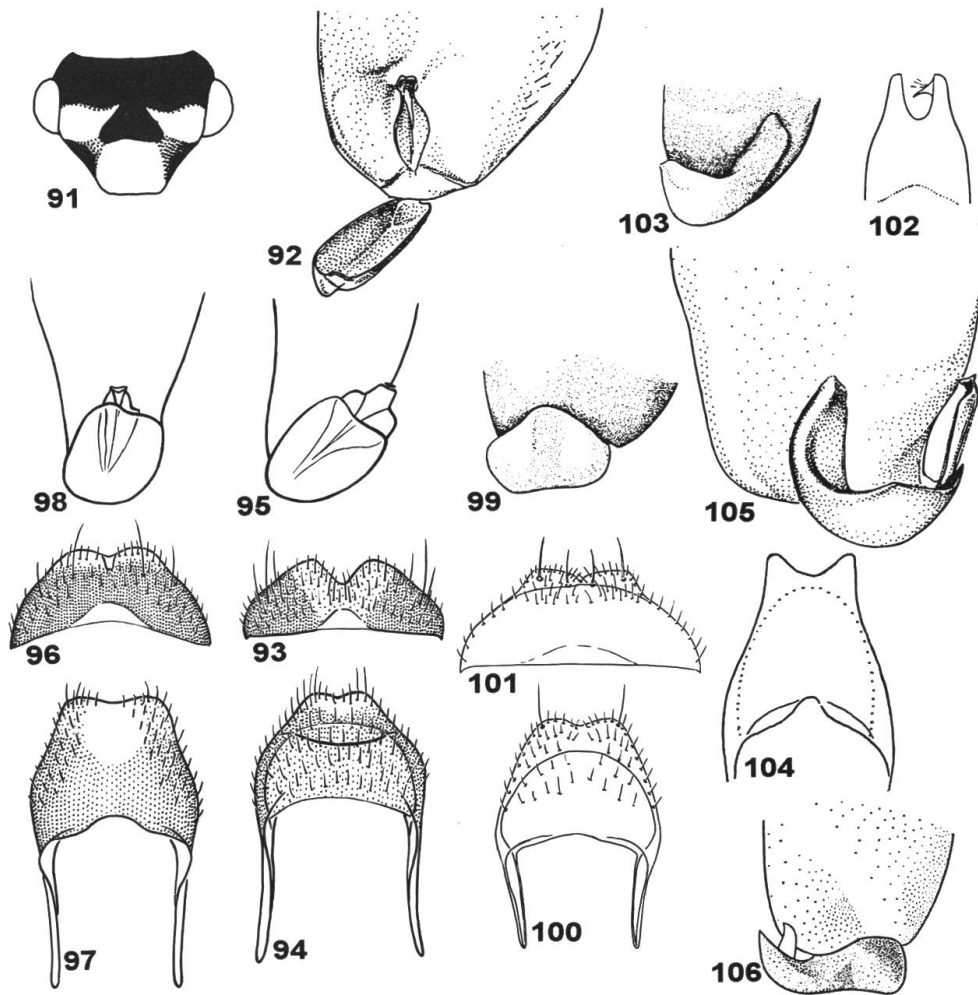


Abb. 91–106: 91–92: *Ebaeus dolini* Wittmer: 91, Kopf. 92, Apex der rechten Flügeldecke. 93–95: *E. hissarensis* Wittmer: 93, Sternit 8. 94, Tergit 8. 95, Apex der rechten Flügeldecke. 96–98: *E. bipartitus* Wittmer: 96, Sternit 8. 97, Tergit 8. 98, Apex der rechten Flügeldecke. 99–101: *E. reductomaculatus* Wittmer: 99, Apex der rechten Flügeldecke. 100, Tergit 8. 101, Sternit 8. 102–103: *E. ornaticeps* Wittmer: 102, Tergit 8. 103, Apex der rechten Flügeldecke. 104–105: *E. turkmenicus* Wittmer: 104, Tergit 8. 105, Apex der linken Flügeldecke. 106: *E. albopictus* Wittmer: 106, Apex der rechten Flügeldecke.

- Apex von Sternit 8 schwach ausgerandet (Abb. 96). Apex von Tergit 8 fast gerade (Abb. 97). Äusseres Anhängsel kaum länger als breit, mehr gerundet (Abb. 98) **E. bipartitus** Wittmer
- 40. Anhängsel wenig breiter als lang (Abb. 99). Tergit 8 (Abb. 100). Sternit 8 (Abb. 101) **E. reductomaculatus** Wittmer
- Anhängsel zwei mal breiter als lang 41

41. Anhängsel fast halbmondförmig 43
 – Anhängsel fast gerade 44
42. Tergit 8 tief und breit ausgerandet, vor dem Apex jederseits ein ventralwärts gerichteter Dorn (Abb. 102). Anhängsel (Abb. 103)
E. ornaticeps Wittmer
 – Tergit 8 nur wenig ausgerandet, ohne Dorn (Abb. 104). Anhängsel (Abb. 105) **E. turkmenicus** Wittmer
43. Anhängsel gegen die Naht mit schwachem, ovalem Eindruck (Abb. 8). Halsschild ohne dunkle Makel, Tergit 8 (Abb. 9). Sternit 8 (Abb. 10) **E. maculiceps** n.sp.
 – Anhängsel ohne Eindruck (Abb. 106). Halsschild mit einer länglichen dunkeln Makel, weder den Vorder- nach den Basalrand berührend. **E. albopictus** Wittmer

Artenkatalog der Gattung *Ebaeus* aus Zentralasien.

1. **albopictus** Wittmer, 1970.
 Turkmenien, Kugitang-Tau Gebirgskette (Gbs.).
 Aktiv: V.
 Holotypus: ZIN.
2. **basipes** Abeille de Perrin, 1885.
 Turkmenien, Aschchabad, Firüsa.
 Aktiv: IV.
 Holotypus: MP wahrscheinlich.
3. **bipartitus** Wittmer, 1970.
 Tadshikistan, Gandshina; Uzbekistan, Kugitang-Tau Gbs., Pandsh-Ob.
 Aktiv: IV–V.
 Holotypus: ZIN.
4. **caspius** Peyron, 1877.
 ssp. **flavolimbatus** Wittmer, 1968.
 S. Russland, Turkmenien, Küste des Kaspischen Meeres.
 Aktiv: V.
 Holotypus: NHMB.
5. **cianeoviridis** Wittmer, 1970.
 Tadshikistan, SW Pamir, Sha-Dshan, h = 3700 m.
 Aktiv: V.
 Holotypus: ZIN.
6. **decorus** Abeille de Perrin, 1885.
 Central Asia (Abeille de Perrin), Afghanistan, Nuristan, h = 1200 m.;
 Uzbekistan, Nuratau Gbs., Kugitang-Tau Gbs., h = 1000–1500 m.

- Aktiv: V.
Holotypus: MP.
7. **delicatulus** Wittmer, 1956.
Afghanistan, Nuristan, Baschgaltal, h = 1200 m.
Aktiv: V.
Holotypus: NHMB.
8. **dolini** Wittmer, 1995.
Turkmenien, Kara-Kala.
Aktiv: V.
Holotypus: NHMB.
9. **erythropus** Peyron, 1887.
Kasachstan, Dshungarskiy Alatau, Sjemirjetschensk.
Aktiv: VII.
Holotypus: MP wahrscheinlich.
10. **fischeri** Fleischer, 1909.
Turkestan, Aulie-Ata; Kasachstan, Taldy-Kurgan.
Aktiv: V.
Holotypus: NMP wahrscheinlich.
11. **ferganicus** Wittmer, 1970.
Uzbekistan, N Alai Gbs. NW Tian-Schan, Nuratau Gbs.,
h = 1000–2000 m.
Aktiv: IV–V.
Holotypus: ZIN.
12. **gibbosus** Wittmer, 1956.
Afghanistan, Kandahar-Kuna, h = 950 m.
Aktiv: III.
Holotypus: NHMB.
13. **hissarensis** Wittmer, 1992.
Tadschikistan, Gissar Gbs., Takob Schlucht, h = 1600 m.
Aktiv: IV.
Holotypus: ZMM.
14. **karakumensis** Wittmer, 1970.
Turkmenien, Karakum Wüste, Repetek.
Aktiv: IV.
Holotypus: ZIN.
15. **kasachstanicus** Švihla, 1980.
Kasachstan, Kara-Tau Gbs., Dshambul, h = 1200; Uzbekistan,
Tschatkal Gbs., Tschimgan Berg, h = 1900 m. Maidantal Gbs.,
Pskem Gbs., h = 1000–1500 m.
Aktiv: V.
Holotypus: NMP.

16. **kukkulensis** Švihla, 1987.
Uzbekistan, Alai Gbs., Kuk-kul, h = 1800 m.
Aktiv: IV.
Holotypus: NMP.
17. **levesulcatus** Wittmer, 1992.
Afghanistan, Band-Amir, Bend-Kaibat.
Aktiv: VII.
Holotypus: NHMB.
18. **limbellus** Peyron, 1877.
ssp. **tianschanensis** Wittmer, 1970.
Kirgisien, Tian-Shan.
Aktiv: V.
Holotypus: NHMB.
19. **lopatini** n.sp.
SO Kasakstan, Tscharyn Fluss, Kurtagoi
Aktiv: VII.
Holotypus: coll. Dowgailo.
20. **maculiceps** n.sp.
Uzbekistan, Nuratau, Kugitang Gbs.
Aktiv: IV–V.
Holotypus: coll. Dowgailo.
21. **maculithorax** Wittmer, 1995.
Turkestan, Aunan.
Aktiv: ?
Holotypus: NHMB.
22. **majeri** Švihla, 1987.
Uzbekistan, Alai Gbs., Kuk-kul, h = 1800 m.
Aktiv: IV.
Holotypus: NMP.
23. **oculifer** Abeille de Perrin, 1885.
Turkestan.
Aktiv: ?
Holotypus: PM wahrscheinlich.
24. **ornaticeps** Wittmer, 1956.
Afghanistan, Nuristan, Baschgaltal, h = 1200 m.
Aktiv: IV.
Holotypus: NHMB.
25. **pallidiceps** Wittmer, 1956.
Afghanistan, Nuristan, Baschgaltal, h = 1200 m.
Aktiv: IV.
Holotypus: NHMB.

26. **pallidipes** Wittmer, 1992.
Uzbekistan, Maidantal Gbs., Aktasch, h = 1400 m.
Aktiv: V.
Holotypus: NHMB.
27. **pedicularius** Fabricius, 1777.
Turkestan.
Aktiv: VII.
Holotypus: Kopenhagen Museum wahrscheinlich.
28. **personatus** Abeille de Perrin, 1885.
Turkestan.
Aktiv: ?
Holotypus: ?
29. **poecilus** Iablokoff-Khnzorian, 1978.
Turkmenien, Karluk, Firüsa.
Aktiv: IV.
Holotypus: Zoologisches Institut, Erewan.
30. **reductomaculatus** Wittmer, 1956.
Afghanistan, Nuristan, Baschgaltal, h = 1200 m.
Aktiv: IV–V.
Holotypus: NHMB.
31. **robusticornis** Wittmer, 1964.
Alai Gbs., Goungalak.
Aktiv: V.
Holotypus: ZIN.
32. **rufipes** Morawiz, 1861.
Kasachstan, Acktübinsk, Küste des Kaspischen Meeres.
Aktiv: VI.
Holotypus: Zoologisches Kabinett, Universität Odessa wahrscheinlich.
33. **scheibei** Wittmer, 1956.
Afganistan, Kabul.
Aktiv: V.
Holotypus: NHMB.
34. **scutellaris** Pic, 1908.
Turkmenien, Duab, Schikari, Kundistal, h = 1000 m; Afghanistan, Badachschan, Koktschatal, h = 2000 m.
Aktiv: VII.
Holotypus: MP.
35. **spinifer** Wittmer, 1970.
Kirgisien, Tian-Schan Gbs., Kujlu.
Aktiv: VII.
Holotypus: ZIN.

36. **spinimargo** Wittmer, 1970.
Turkmenien, Tedshen.
Afghanistan, Nuristan, Baschgaltal, h = 1200 m.
Aktiv: ?
Holotypus: NHMB.
37. **streiceki** Švihla, 1980.
Tadshikistan, Tachnaup, Babatag Gbs., Baldultschaschma.
Aktiv: IV–V.
Holotypus: NMP.
38. **tergalis** Wittmer, 1992.
Turkmenien, Kara-Kala, Kara-Eltschi.
Aktiv: IV.
Holotypus: NHMB.
39. **tibiaemaculatus** Wittmer, 1956.
Afghanistan, Nuristan, Baschgaltal, h = 1200 m.
Aktiv: IV.
Holotypus: NHMB.
40. **tripictus** Abeille de Perrin, 1890.
Buchara, Afghanistan?
Aktiv: ?
Holotypus: ?
41. **tritinctus** Wittmer, 1956.
Afghanistan, Dshellalabad, h = 500.
Aktiv: III.
Holotypus: NHMB.
42. **tshernyshevi** Wittmer, 1995.
Turkmenien, Gezgyadyk Gbs., Polekhatum
Aktiv: IV.
Holotypus: SZM.
43. **turkmenicus** Wittmer, 1995.
Turkmenien, Kara-Kala.
Aktiv: V.
Holotypus: NHMB.
44. **turkestanicus** Abeille de Perrin, 1885.
Uzbekistan, Kirgisien, Tadshikistan, Afghanistan Gebirge.
Aktiv: IV–V.
Holotypus: ?
45. **wittmerorum** Švihla, 1980.
Tadshikistan, Duschanbe; Uzbekistan, Kugitang-Tau Gbs.,
h = 1200 m.

Aktiv: V.

Holotypus: NMP.

Literatur

- ABEILLE DE PERRIN, E. (1885): *Nouveaux documents pour servir à l'histoire des malachides*. Revue d'Entomologie (4): 4–28: 139–153.
- ABEILLE DE PERRIN, E. (1890): *Coléoptères rares ou nouveaux de la France*. Revue d'Entomologie (9): 145–148.
- ABEILLE DE PERRIN, E. (1891): *Malachides d'Europe et pays voisins*. Annales de la Société Entomologique de France (6)10: 364–397.
- GREINER, J. (1937): *Malachiidae*, Pars 159, W. Junk editus a S. Schenkling, Coleopterorum Catalogus.
- HORN, W. (1926): *Über den Verbleib der entomologischen Sammlungen der Welt ein Beitrag zur Geschichte der Entomo- Museologie*. Supplementa Entomologica. (12, 15) 3.
- IABLOKOFF-KHNZORIAN, S.M. (1978): *Vier neue Käferarten aus der Familie Malachiidae (Coleoptera) aus der UdSSR*. Dokladi Akad. Nauk Armen SSR, 66: 172–176.
- PIC, M. (1908): *Descriptions ou diagnoses et notes diverses*. L'Echange. Revue Linnéenne 24: 41–46.
- PEYRON, M.E. (1877): *Etude sur les Malachiides d'Europe et du bassin de la Méditerranée*. Paris, L'Abeille 15: 1–301.
- ŠVIHLA, V. (1980): *New species of Malachiinae (Coleoptera, Melyridae) from Soviet Central Asia*. Acta entomologica bohemoslovaca, 77: 394–399.
- ŠVIHLA, V. (1987): *Results of the Czechoslovak–Iranian entomological expeditions to Iran 1973 and 1977 (Coleoptera, Melyridae, Malachiinae)*. Acta entomologica musei nationalis Pragae, 42: 277–286.
- WITTMER, W. (1956): *Afghanistan Ausbeute von Herrn J. Klapperich, 1952–1953*. Revue suisse de Zoologie, 63(2): 115–161.
- WITTMER, W. (1964): 27. *Beitrag zur Kenntnis der palaearktischen Malacodermata*. Ent. Arb. Mus. G. Frey, Tutzing 15(1): 100–105.
- WITTMER, W. (1968): *Die Ebaeus-Arten aus der Gruppe turkestanicus – caspius*. Mitt. der Schweiz. Ent. Ges. 41: 205–210.
- WITTMER, W. (1970): 47. *Beitrag zur Kenntnis der palaearktischen Cantharidae und Malachiidae*. Mitt. der Schweiz. Ent. Ges. 43(2): 15, (10); 73–98.
- WITTMER, W. (1992): 78. *Beitrag zur Kenntnis der palaearktischen Malachiidae (Coleoptera)*. Mitt. Ent. Ges. Basel, 42(1): 11–34.
- WITTMER, W. (1995): *Zur Kenntnis der Familie Malachiidae (Coleoptera) 2. Beitrag*. Ent. Basiliensia, 18: 287–391.
- WITTMER, W. (1995): *Zur Kenntnis der Familie Malachiidae (Coleoptera). Teil I*. Mitt. Schweiz. Ent. Ges. 68: 263–295.

Kirill Dowgailo,
Grizewez str. 6–56,
Minsk, 220 009, Weissrussland.

